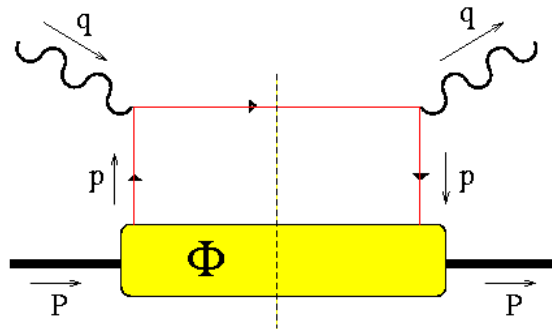


Riassunto della lezione precedente

- evoluzione DGLAP e teoremi di fattorizzazione;
coefficienti di Wilson, scale di fattorizzazione e schemi di calcolo
- e^+e^- inclusivo: $W^{\mu\nu}$ come trasformata di Fourier di operatore bilocale;
contributo dominante a corte distanze: operatore mal definito
- Operator Product Expansion (OPE): definizione (operativa) di prodotto di
due operatori come serie di operatori locali regolari a corte distanze;
dimostrazione rigorosa di fattorizzazione
- e^+e^- inclusivo: OPE per quark liberi equivalente a QPM
DIS inclusivo: serie OPE organizzabile in serie di potenze $(M/Q)^n$; twist
- OPE dimostrabile solo per processi inclusivi;
approccio diagrammatico per processi semi-inclusivi
- dominanza cinematica Light-Cone (LC) in regime DIS;
definizione variabili LC; equivalenza tra LC e Infinite Momentum Frame (IFM)
algebra di Dirac sul LC: chiralità ed elicità

Riprendiamo risultato OPE per DIS inclusivo



contributo dominante in OPE



$$2MW^{\mu\nu} \sim \sum_f e_f^2 \int d^4p \delta((p+q)^2 - m^2) \theta(p^0 + q^0 - m)$$

$$\text{Tr} [\Phi(p, P) \gamma^\mu (\not{p} + \not{q} + m) \gamma^\nu + \bar{\Phi}(p, P) \gamma^\nu (\not{p} + \not{q} - m) \gamma^\mu]$$

$$\begin{aligned} \Phi(p, P) &= \int \frac{d^4\xi}{(2\pi)^4} e^{-ip \cdot \xi} \langle P | \bar{\psi}_f(\xi) \psi_f(0) | P \rangle && \Phi \text{ operatore bilocale,} \\ & && \text{contiene twist } \geq 2 \\ &= \int \frac{d\mathbf{P}_X}{(2\pi)^3 2P_X^0} \langle P | \bar{\psi}_f(0) | P_X \rangle \langle P_X | \psi_f(0) | P \rangle \delta(P - p - P_X) \end{aligned}$$

IFM ($Q^2 \rightarrow \infty$) \Rightarrow isolare contributo leading in $1/Q$
equivalentemente calcoliamo Φ sul Light-Cone (LC)

Contributo leading

$$\left\{ \begin{array}{l} P^\mu = \frac{1}{\sqrt{2}} \left(A, \frac{M^2}{A}, \mathbf{0}_\perp \right) \xrightarrow{A=Q} P^\mu \sim \left(Q, \frac{1}{Q}, \mathbf{0}_\perp \right) \xrightarrow{Q^2 \rightarrow \infty} (Q, 0, \mathbf{0}_\perp) \\ p^\mu = \frac{1}{\sqrt{2}} \left(xA, \frac{p^2 + \mathbf{p}_\perp^2}{xA}, \mathbf{p}_\perp \right) \xrightarrow{A=Q} \frac{1}{\sqrt{2}} \left(xQ, \frac{p^2 + \mathbf{p}_\perp^2}{xQ}, \mathbf{p}_\perp \right) \sim (Q, 0, \mathbf{0}_\perp) \\ q^\mu = \frac{1}{\sqrt{2}} \left(-x_N A, \frac{Q^2}{x_N A}, \mathbf{0}_\perp \right) \xrightarrow{A=Q} \frac{1}{\sqrt{2}} \left(-x_N Q, \frac{Q}{x_N}, \mathbf{0}_\perp \right) \end{array} \right.$$

N.B. $p^+ \sim Q \rightarrow (p+q)^- \sim Q$

$$\begin{aligned} 2MW^{\mu\nu} &= \sum_f e_f^2 \int d^4p \delta((p+q)^2 - m^2) \theta(p^0 + q^0 - m) \\ &\quad \times \text{Tr} [\Phi(p, P) \gamma^\mu (\gamma \cdot p + \gamma \cdot q + m) \gamma^\nu] \\ &\sim \frac{1}{2} \sum_f e_f^2 \int dp^- d\mathbf{p}_\perp \text{Tr} [\Phi(p, P) \gamma^\mu \gamma^+ \gamma^\nu] \Big|_{p^+ = xP^+} \end{aligned}$$



$$\delta(p^+ + q^+) = \delta(xP^+ - x_N P^+) \rightarrow x \sim x_N \sim x_B$$

(analogamente per antiquark)

(continua)

- decomposizione della matrice di Dirac $\Phi(p, P, S)$ sulla base delle strutture di Dirac e dei 4-(pseudo)vettori p, P, S compatibilmente con Hermiticity e invarianza per parità

$$\begin{aligned}\Phi(p, P, S) &= \gamma^0 \Phi^\dagger(p, P, S) \gamma^0 \\ \Phi(p, P, S) &= \gamma^0 \Phi(\tilde{p}, \tilde{P}, -\tilde{S}) \gamma^0\end{aligned}$$

base di Dirac $\mathbf{1}, i\gamma_5, \gamma^\mu, \gamma^\mu \gamma_5, \sigma^{\mu\nu}, i\sigma^{\mu\nu} \gamma_5$ $\tilde{a}^\mu = (a_0, -\mathbf{a})$

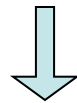
$$\begin{aligned}\Phi(p, P, S) &= A_1 M + A_2 \not{P} + A_3 \not{p} + A_4 \sigma_{\mu\nu} P^\mu p^\nu + iA_5 p \cdot S \gamma_5 + A_6 M \not{S} \gamma_5 \\ &+ A_7 \frac{p \cdot S}{M} \not{P} \gamma_5 + A_8 \frac{p \cdot S}{M} \not{p} \gamma_5 + iA_9 \sigma_{\mu\nu} \gamma_5 S^\mu P^\nu + iA_{10} \sigma_{\mu\nu} \gamma_5 S^\mu p^\nu \\ &+ iA_{11} \frac{p \cdot S}{M^2} \sigma_{\mu\nu} \gamma_5 P^\mu p^\nu + A_{12} \epsilon_{\mu\nu\rho\sigma} \frac{\gamma^\mu P^\nu p^\rho S^\sigma}{M}\end{aligned}$$



time-reversal $\rightarrow 0$

$$\Phi^*(p, P, S) = -i\gamma^1 \gamma^3 \Phi(\tilde{p}, \tilde{P}, \tilde{S}) i\gamma^1 \gamma^3$$

$$\text{Tr} [\Phi(p, P) \gamma^\mu \gamma^+ \gamma^\nu] \Big|_{p^+=xP^+} = -4g_\perp^{\mu\nu} \underbrace{(A_2 + xA_3) P^+}_{\int dp^- d\mathbf{p}_\perp \dots \Big|_{p^+=xP^+} \rightarrow \mathbf{q}_f(x)}$$



$$2MW^{\mu\nu} \sim -g_\perp^{\mu\nu} \frac{1}{2} \sum_f e_f^2 [q_f(x) + \bar{q}_f(x)] + o\left(\frac{1}{Q}\right)$$

idem per antiquark

(continua)

$$2MW^{\mu\nu} \sim -g_{\perp}^{\mu\nu} \underbrace{\frac{1}{2} \sum_f e_f^2 [q_f(x) + \bar{q}_f(x)]}_{F_1(x_B)} + o\left(\frac{1}{Q}\right)$$

$x \approx x_B$ $F_1(x_B) \rightarrow$ risultato di QPM

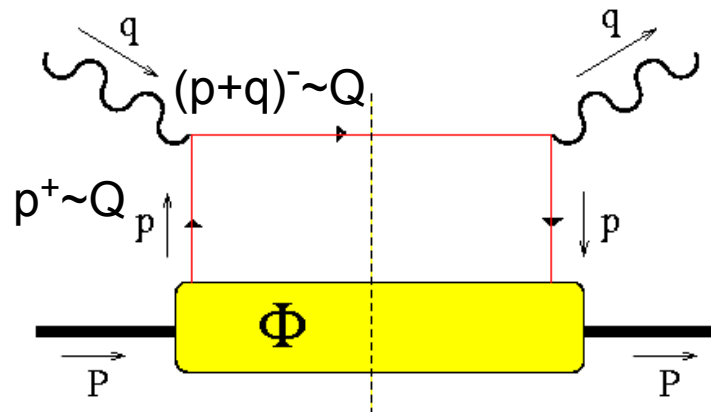
$$W^{\mu\nu} = \left(-g^{\mu\nu} + \frac{q^\mu q^\nu}{q^2}\right) W_1 + \frac{\tilde{P}^\mu \tilde{P}^\nu}{M^2} W_2$$

W_1 risposta a polarizzazione trasversa di γ^* $\rightarrow -g_{\perp}^{\mu\nu} F_1$

Morale :

operatore bilocale Φ ha twist ≥ 2 ; il contributo a leading twist si ottiene in IFM selezionando il termine dominante in $1/Q$ ($Q^2 \rightarrow \infty$) ; equivalentemente calcolando Φ sul LC

al leading twist ($t=2$) si ritrova risultato di QPM per $W^{\mu\nu}$ non polarizzato; ma qual è il risultato generale a $t=2$?



Decomposizione di Φ al leading twist

Base di matrici di Dirac $\{\mathbf{1}, \gamma^\mu, \gamma^\mu \gamma_5, i\gamma_5, i\sigma^{\mu\nu} \gamma_5\}$

$$\Phi(p, P, S) = \frac{1}{2} [S \mathbf{1} + V_\mu \gamma^\mu + A_\mu \gamma^\mu \gamma_5 + iP \gamma_5 + iT_{\mu\nu} \sigma^{\mu\nu} \gamma_5]$$

$$S = \frac{1}{2} \text{Tr}(\Phi) = C_1(p^2, p \cdot P)$$

$$V^\mu = \frac{1}{2} \text{Tr}(\gamma^\mu \Phi) = C_2 P^\mu + C_3 p^\mu$$

$$A^\mu = \frac{1}{2} \text{Tr}(\gamma^\mu \gamma_5 \Phi) = C_4 S^\mu + C_5 p \cdot S P^\mu + C_6 P \cdot S p^\mu$$

$$P_5 = \frac{1}{2i} \text{Tr}(\gamma_5 \Phi) = 0$$

$$T^{\mu\nu} = \frac{1}{2i} \text{Tr}(\sigma^{\mu\nu} \Phi) = C_7 P^{[\mu} S^{\nu]} + C_8 p^{[\mu} S^{\nu]} + C_9 p \cdot S P^{[\mu} p^{\nu]}$$



$$\text{Tr} [\gamma^+ \dots] \rightarrow q_f(x) = \Phi[\gamma^+] = \int \frac{d\xi^-}{2\pi} e^{-ixP^+\xi^-} \langle P | \bar{\psi}_f(\xi^-) \gamma^+ \psi_f(0) | P \rangle$$

$$\text{Tr} [\gamma^+ \gamma_5 \dots] \rightarrow \Delta q_f(x) = \Phi[\gamma^+ \gamma_5] = \int \frac{d\xi^-}{2\pi} e^{-ixP^+\xi^-} \langle P | \bar{\psi}_f(\xi^-) \gamma^+ \gamma_5 \psi_f(0) | P \rangle$$

$$\text{Tr} [\gamma^+ \gamma^i \gamma_5 \dots] \rightarrow \delta q_f(x) = \Phi[i\sigma^{i+} \gamma_5] = \int \frac{d\xi^-}{2\pi} e^{-ixP^+\xi^-} \langle P | \bar{\psi}_f(\xi^-) i\sigma^{i+} \gamma_5 \psi_f(0) | P \rangle$$

Traccia di operatore bilocale → densità partoniche

$$\begin{aligned}\Phi^{[\gamma^+]}(x) &= \int dp^- d\mathbf{p}_\perp \text{Tr} [\Phi(p, P) \gamma^+] \Big|_{p^+=xP^+} \\ &= \sqrt{2} \sum_n |\langle n | \phi_f(0) | P \rangle|^2 \delta(P^+ - xP^+ - P_n^+) \equiv q_f(x)\end{aligned}$$



componenti light-cone “good”

densità di probabilità
di annichilare in $|P\rangle$
un quark con momento xP^+

similmente per l' antiquark

$$\begin{aligned}\Phi^{[\gamma^+]}(x) + \bar{\Phi}^{[\gamma^+]}(x) &= \int dp^- d\mathbf{p}_\perp \text{Tr} [\Phi(p, P, S) \gamma^+ - \bar{\Phi}(p, P, S) \gamma^+] \Big|_{p^+=xP^+} \\ &= q_f(x) + \bar{q}_f(x)\end{aligned}$$

= probabilità di trovare un (anti)quark con flavor f e frazione x del momento longitudinale (light-cone) P^+ dell' adrone

In generale :
$$\Phi^{[\Gamma]}(x, S) = \int dp^- d\mathbf{p}_\perp \text{Tr} [\Phi(p, P, S) \Gamma] \Big|_{p^+=xP^+}$$

Proiezioni al leading twist
(coinvolgono le componenti
“good” ϕ)

$$\begin{aligned}\Phi^{[\gamma^+]}(x, S) &= q(x) \\ \Phi^{[\gamma^+ \gamma_5]}(x, S) &= \lambda \Delta q(x) \\ \Phi^{[i\sigma^{i+} \gamma_5]}(x, S) &= S_T^i \delta q(x)\end{aligned}$$

Proiezioni al twist 3
(coinvolgono le componenti
“good” ϕ e “bad” χ)

$$\begin{aligned}\Phi^{[\mathbf{1}]}(x, S) &= \frac{M}{P^+} e(x) \\ \Phi^{[\gamma^i \gamma_5]}(x, S) &= \frac{M}{P^+} S_T^i g_T(x) \\ \Phi^{[i\sigma^{+-} \gamma_5]}(x, S) &= \frac{M}{P^+} \lambda h_L(x)\end{aligned}$$

Esempio:
$$\int dp^- d\mathbf{p}_\perp \text{Tr} [\Phi(p, P, S) \mathbf{1}] \Big|_{p^+=xP^+} = \frac{M}{P^+} \int \frac{d\xi^-}{2\pi} e^{-ixP^+\xi^-} \langle P | \underbrace{\bar{\psi}(\xi^-) \psi(0)}_{\text{correlatore quark-gluone}} | P \rangle$$

$$\psi^\dagger \gamma^0 \psi = \overline{\begin{pmatrix} \phi \\ \chi \end{pmatrix}} \begin{pmatrix} 0 & \sigma_3 \\ \sigma_3 & 0 \end{pmatrix} \begin{pmatrix} \phi \\ \chi \end{pmatrix} \sim \phi^\dagger \sigma_3 \chi \rightarrow \phi^\dagger \sigma_3 (i \not{D} + m) \phi$$

**correlatore quark-gluone
soppresso**

Interpretazione probabilistica al leading twist

proiettori di elicità (chiralità) $P_{R/L} = \frac{1 \pm \gamma_5}{2}$ $[P_{R/L}, P_{\pm}] = 0$

$$\begin{aligned} \Phi[\gamma^+] &\rightarrow \bar{\psi} \gamma^+ \psi \rightarrow \psi^\dagger P_+ \psi \rightarrow \phi^\dagger \phi = \phi^\dagger (P_R + P_L)^\dagger (P_R + P_L) \phi \\ &= \phi^\dagger (P_R^\dagger P_R + P_L^\dagger P_L) \phi = \bar{R}R + \bar{L}L \end{aligned}$$



distribuzione di momento

$$\begin{aligned} \Phi[\gamma^+ \gamma_5] &\rightarrow \bar{\psi} \gamma^+ \gamma_5 \psi \rightarrow \psi^\dagger P_+ \gamma_5 P_+ \psi \rightarrow \phi^\dagger (P_R - P_L) \phi \\ &= \phi^\dagger (P_R^\dagger P_R - P_L^\dagger P_L) \phi = \bar{R}R - \bar{L}L \end{aligned} \quad [P_{\pm}, \gamma_5] = 0$$

distribuzione di elicità

$$\Phi[i\sigma^{i+} \gamma_5] \rightarrow \bar{\psi} i\sigma^{i+} \gamma_5 \psi \dots \rightarrow \phi^\dagger (P_L^\dagger \gamma^i P_R - P_R^\dagger \gamma^i P_L) \phi \quad ?$$

(continua)

proiettori di polarizzazione trasversa $P_{\uparrow/\downarrow} = \frac{1 \pm \gamma^i \gamma_5}{2}$ (da base di elicità a base di trasversità)

$$\Phi [i\sigma^{i+}\gamma_5] \rightarrow \bar{\psi} i\sigma^{i+}\gamma_5 \psi \dots \rightarrow \phi^\dagger (P_\uparrow P_\uparrow - P_\downarrow P_\downarrow) \phi$$



→ δq è distribuzione “netta” di polarizz. trasversa !

notazioni più usuali e “comode”

$$\Phi [\gamma^+] (x, S) = q(x) \longrightarrow f_1^q(x) \quad f_1 = \text{diagram of a circle with a black dot in the center}$$

quark non polariz. q leading twist

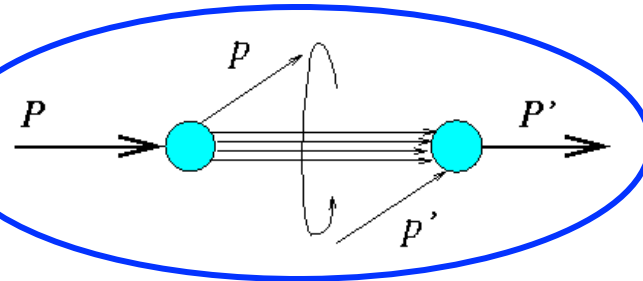
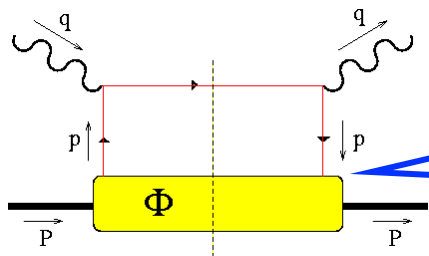
$$\Phi [\gamma^+ \gamma_5] (x, S) = \lambda \Delta q(x) \longrightarrow \lambda g_1^q(x) \quad g_1 = \text{diagram of two circles with black dots and red arrows pointing right, with green arrows pointing right between them}$$

quark long. polariz. \vec{q}

$$\Phi [i\sigma^{i+}\gamma_5] (x, S) = S_T^i \delta q(x) \longrightarrow S_T^i h_1^q(x) \quad h_1 = \text{diagram of two circles with black dots and red arrows pointing up/down, with green arrows pointing up between them}$$

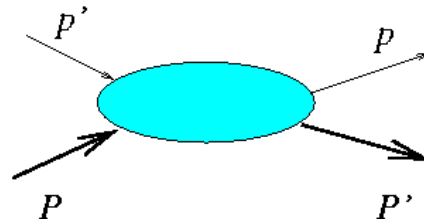
q^\uparrow quark trasv. polariz.

Necessità di 3 PDF' s al leading twist



bersaglio con elicità P
 emette
 partone con elicità p
 hard scattering
 partone con elicità p'
 riassorbito in
 adrone con elicità P'

discontinuità nel canale u della
 ampiezza di scattering forward
 partone-adrone



$$\rightarrow A_{Pp,P'p'}$$

al leading twist solo componenti “good”
 il processo è collineare modulo $o(1/Q)$
 \Rightarrow conservazione dell' elicità $P+p' = p+P'$

$$|\psi\rangle \sim \begin{vmatrix} \phi_+ \\ \phi_- \\ o(1/Q) \\ o(1/Q) \end{vmatrix}$$

(continua)

invarianza per trasformazioni di parità $\rightarrow A_{Pp,P'p'} = A_{-P-p,-P'-p'}$

invarianza per time-reversal $\rightarrow A_{Pp,P'p'} = A_{P'p',Pp}$

	P	p	\rightarrow	P'	p'
1)	+	+		+	+
2)	+	-		+	-
3)	+	+		-	-

con questi vincoli $\rightarrow 3 A_{Pp,P'p'}$ indipendenti

$$\left\{ \begin{array}{l} (+,+) \rightarrow (+,+) + (+,-) \rightarrow (+,-) \equiv f_1 \bar{R}R + \bar{L}L \\ (+,+) \rightarrow (+,+) - (+,-) \rightarrow (+,-) \equiv g_1 \bar{R}R - \bar{L}L \\ (+,+) \rightarrow (-,-) \equiv h_1 \bar{L}R \end{array} \right.$$

- relazioni tra PDF' s

$$(+, +) \rightarrow (+, +) + (+, -) \rightarrow (+, -) \equiv f_1$$

$$(+, +) \rightarrow (+, +) - (+, -) \rightarrow (+, -) \equiv g_1$$

$$(+, +) \rightarrow (-, -) \equiv h_1$$

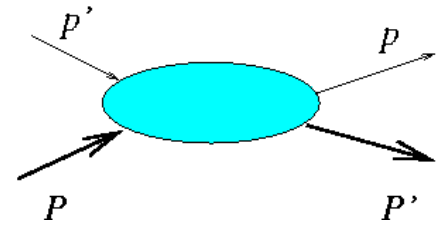
per definizione $\rightarrow f_1 \geq |g_1|, |h_1|$, $f_1 \geq 0$

$$|(+, +) \pm (-, -)|^2 = A_{++,++} + A_{--,--} \pm 2 \operatorname{Re} A_{+,-} \geq 0$$

invarianza per trasformazioni di parità $\rightarrow A_{Pp,P'p'} = A_{-P-p.-P'-p'}$

$A_{++,++} = \frac{1}{2} (f_1 + g_1) \geq |A_{+,-}| = |h_1| \rightarrow$ diseguaglianza di Soffer valida per ogni x e Q^2 (almeno fino NLO)

$A_{Pp,P'p'}$



Base di elicità

$$h_1 \sim \phi^\dagger P_L^\dagger \gamma_i P_R \phi$$

Base di trasversità

$$h_1 \sim \phi^\dagger (P_\uparrow^\dagger P_\uparrow - P_\downarrow^\dagger P_\downarrow) \phi$$

$$\langle \uparrow | \dots | \uparrow \rangle - \langle \downarrow | \dots | \downarrow \rangle \propto \langle + | \dots | - \rangle + \langle - | \dots | + \rangle$$

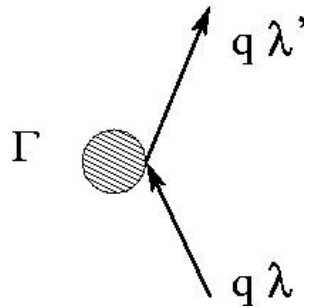
$$\begin{cases} |\uparrow\rangle = \frac{1}{\sqrt{2}}(|+\rangle + |-\rangle) \\ |\downarrow\rangle = \frac{1}{\sqrt{2}}(|+\rangle - |-\rangle) \end{cases}$$



per componenti “good”
 (\Leftrightarrow twist 2) elicità = chiralità
 quindi h_1 non conserva
 chiralità (chiral odd)

QCD conserva l'elicità al leading twist

massless quark spinors $\lambda = \pm 1$



$$M \sim \bar{u}_{\lambda'} \Gamma u_\lambda$$

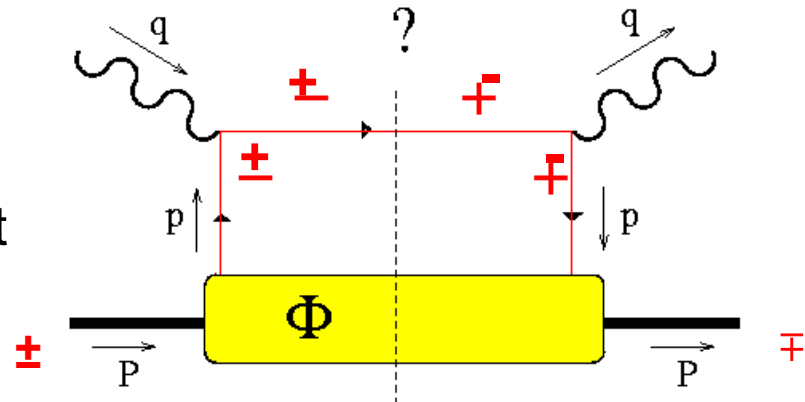
$$\sim \bar{u}_{\lambda'} (1 - \lambda' \gamma_5) (1 - \lambda \gamma_5) \Gamma u_\lambda$$

$$\sim \delta_{\lambda\lambda'} \bar{u}_{\lambda'} \Gamma u_\lambda + o\left(\frac{m_q}{E_q}\right)$$

$$\frac{1 + \lambda \gamma_5}{2} u_\lambda = u_\lambda$$

$$\bar{u}_\lambda \frac{1 - \lambda \gamma_5}{2} = \bar{u}_\lambda$$

QCD conserva l'elicità al leading twist
 $\rightarrow h_1$ soppressa in DIS inclusivo



Differenti proprietà tra f_1 , g_1 e h_1

per DIS inclusivo nel QPM c'è parallelo tra PDF's e funzioni di struttura

$$f_1(x) \rightarrow F_1(x_B) = \frac{1}{2} \sum_f e_f^2 [f_1^f(x_B) + \bar{f}_1^f(x_B)] \longrightarrow \frac{1}{2} \sum_{f\bar{f}} e_f^2 [q_f^\uparrow(x_B) + q_f^\downarrow(x_B)]$$

$$g_1(x) \rightarrow G_1(x_B) = \frac{1}{2} \sum_f e_f^2 [g_1^f(x_B) + \bar{g}_1^f(x_B)] \longrightarrow \frac{1}{2} \sum_{f\bar{f}} e_f^2 [q_f^\uparrow(x_B) - q_f^\downarrow(x_B)]$$

ma h_1 non ha controparte a livello di funzioni di struttura, perchè per DIS inclusivo polarizzato, in $W_A^{\mu\nu}$ **il contributo di G_2 è soppresso rispetto a quello di G_1** : appare al twist 3

$$W_A^{\mu\nu} = i\epsilon^{\mu\nu\rho\sigma} q_\rho S_\sigma \left[MG_1(\nu, Q^2) + \frac{P \cdot q}{M} G_2(\nu, Q^2) \right] - i\epsilon^{\mu\nu\rho\sigma} q_\rho P_\sigma \frac{S \cdot q}{M} G_2(\nu, Q^2)$$

per tanti anni h_1 è stata ignorata e si è pensato che la polarizzazione trasversa generasse effetti solo al twist 3, confondendola con g_T in G_2

$$\Phi^{[\gamma^i \gamma^5]}(x, S) = \frac{M}{P^+} S_T^i g_T(x) \longrightarrow g_1(x) + g_2(x) = \sum_f \frac{e_f^2 m_f}{2Mx} [q_f^{\rightarrow}(x) - q_f^{\leftarrow}(x)]$$

In realtà, questo pregiudizio si basa sulla confusione tra spin trasverso dell'adrone (che appare al twist 3 nel tensore adronico) e distribuzione di polarizzazione trasversa dei partoni in adroni polarizzati trasversalmente, che non necessariamente deve apparire solo al twist 3:

	$\Phi^{[\Gamma]}$	pol. long.	$\Phi^{[\Gamma]}$	pol. trasv.
twist 2	$\gamma^+ \gamma_5$	g_1	$i \sigma^{i+} \gamma_5$	h_1
twist 3	$i \sigma^{+-} \gamma_5$	h_L	$\gamma^i \gamma_5$	g_T



perfetto parallelo “incrociato” tra t=2 e t=3 sia per elicità che polarizzazione trasversa

inoltre h_1 ha stessa importanza di f_1 e g_1 al twist 2. Infatti se sulla base di elicità f_1 e g_1 sono diagonali mentre h_1 no,

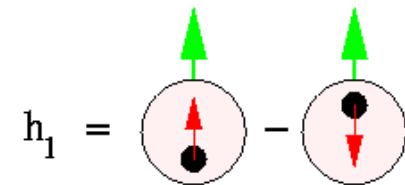
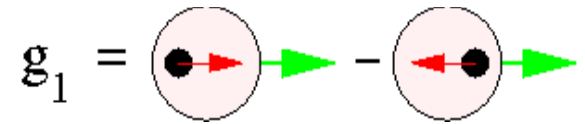
$$f_1 \sim \phi^\dagger (P_R^\dagger P_R + P_L^\dagger P_L) \phi \quad g_1 \sim \phi^\dagger (P_R^\dagger P_R - P_L^\dagger P_L) \phi \quad h_1 \sim \phi^\dagger P_L^\dagger P_R \phi$$

sulla base di trasversità la situazione è opposta:

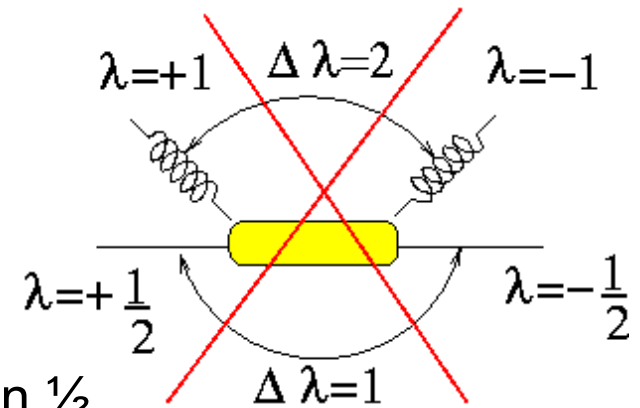
$$f_1 \sim \phi^\dagger (P_\uparrow^\dagger P_\uparrow + P_\downarrow^\dagger P_\downarrow) \phi \quad g_1 \sim \phi^\dagger P_\downarrow^\dagger P_\uparrow \phi \quad h_1 \sim \phi^\dagger (P_\uparrow^\dagger P_\uparrow - P_\downarrow^\dagger P_\downarrow) \phi$$

Chiral-odd $h_1 \rightarrow$ interessanti proprietà rispetto alle altre distribuzioni

- g_1 e h_1 (e tutte le PDF) sono definite nell' IFM
cioè boost $Q \rightarrow \infty$ lungo l' asse z
ma boost e rotazioni di Galileo commutano in
frame nonrelativistico $\rightarrow g_1 = h_1$
ogni differenza è data da effetti relativistici
 \rightarrow info su dinamica relativistica dei quarks



- per gluone si definiscono
 $G(x)$ = la distribuzione di momento
 $\Delta G(x)$ = la distribuzione di elicità
però non esiste la “trasversità” in adrone a spin $\frac{1}{2}$
 \rightarrow evoluzione di h_1^q disaccoppiata da gluoni !





$$\langle PS | \bar{q}^f \gamma^\mu \gamma_5 q^f | PS \rangle \Big|_{Q^2} = 2\lambda P^\mu \int dx \left[g_1^f(x, Q^2) \oplus \bar{g}_1^f(x, Q^2) \right] = 2\lambda P^\mu g_A$$

carica assiale

$$\langle PS | \bar{q}^f i\sigma^{\mu\nu} \gamma_5 q^f | PS \rangle \Big|_{Q^2} = 2S^{[\mu} P^{\nu]} \int dx \left[h_1^f(x, Q^2) \ominus \bar{h}_1^f(x, Q^2) \right] = 2S^{[\mu} P^{\nu]} g_T(Q^2)$$

carica tensoriale
(non conservata)

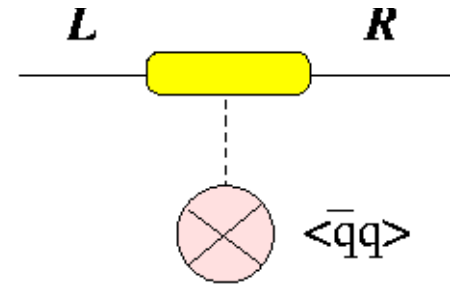
- carica assiale da operatore C(harge)-even
carica tensoriale C-odd → non prende contributi
da coppie quark-antiquark del mare di Dirac

riassumendo: l'evoluzione di $h_1^q(x, Q^2)$ è molto diversa dalle altre PDF perchè non prende contributi dai gluoni → evoluzione tipica di non-singoletto
Inoltre carica tensoriale è struttura di non-singoletto, C-odd e non è conservata
→ h_1 quantità più adatta per studiare contributo di valenza allo spin

(continua)

h_1 non conserva chiralità (chiral odd)

h_1 può quindi essere determinata da processi soft legati alla rottura della simmetria chirale della QCD (ruolo del vuoto nonperturbativo di QCD?)



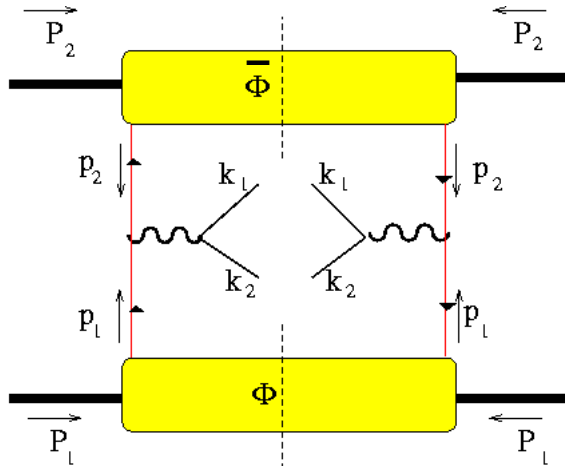
in **base di elicità** la sezione d'urto deve essere chiral-even quindi per estrarre h_1 bisogna trovare un processo elementare in cui appaia insieme ad un partner chiral-odd, in modo da “annullare l'effetto”; il vincolo ulteriore è che tale contributo appaia al leading twist.

Come estrarre la trasversità dai dati ?

Come estrarre la trasversità dai dati ?

scelta più ovvia: Drell-Yan polarizzato

$$p^\uparrow p^\uparrow \rightarrow l^+ l^- X$$



ma distribuzione di spin trasverso
per antiquark in protone polarizzato
→ mare di Dirac è soppresso

sarebbe meglio $p^\uparrow \bar{p}^\uparrow \rightarrow l^+ l^- X$
ma tecnologia ancora da sviluppare

$$\bar{\Phi}(x, S) = \int dp^- d\mathbf{p}_T \bar{\Phi}(p, P, S) \Big|_{p^+ = xP^+} \longrightarrow [f_1(x) + \lambda \bar{g}_1(x) \gamma_5 + \bar{h}_1(x) \gamma_5 S_T] \not{P}$$



$$\Phi(x, S) = \int dp^- d\mathbf{p}_T \Phi(p, P, S) \Big|_{p^+ = xP^+} \longrightarrow [f_1(x) + \lambda g_1(x) \gamma_5 + h_1(x) \gamma_5 S_T] \not{P}$$

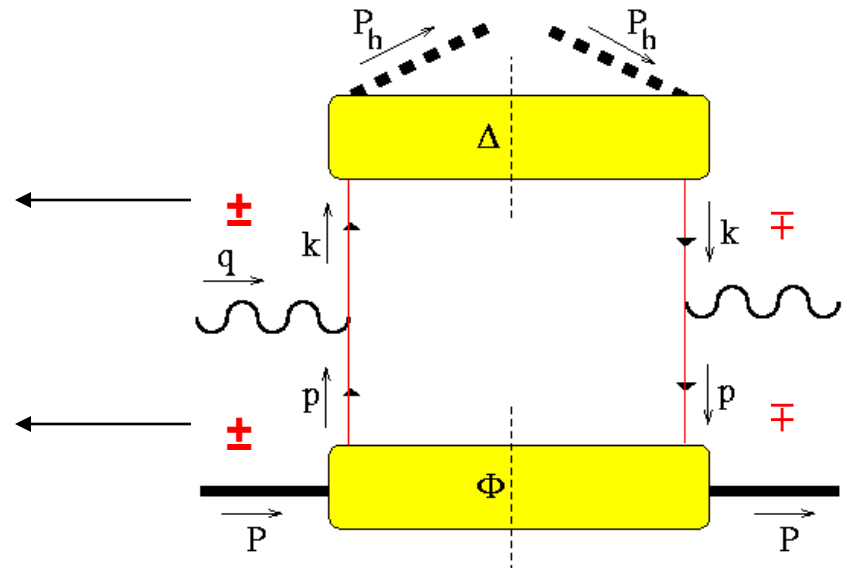


alternativa: DIS semi-inclusivo (SIDIS)

diagramma
dominante
al leading twist

partner
chiral-odd

chiral-odd



sistema IFM

$$P^\mu = \frac{1}{\sqrt{2}} \left(A, \frac{M^2}{A}, \mathbf{0}_T \right) \rightarrow \left(P^+, \frac{M^2}{2P^+}, \mathbf{0}_T \right)$$

$$q^\mu = \frac{1}{\sqrt{2}} \left(-x_N A, \frac{Q^2 - \mathbf{q}_T^2}{2x_N A}, \mathbf{q}_T \right) \sim \left(-x_B P^+, \frac{P_h^-}{z_h}, \mathbf{q}_T \right) \rightarrow (-Q, Q, \mathbf{q}_T)$$

$$P_h^\mu \rightarrow \left(\frac{M_h^2}{2z_h Q}, z_h Q, \mathbf{0}_T \right)$$

IFM per stato finale:
direzione “-” dominante

$$x_B \sim x_N = -\frac{q^+}{P^+}$$

$$z_h = \frac{P_h^-}{q^-}$$

partoni

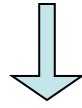
$$p^\mu = \left(x P^+, \frac{p^2 + \mathbf{p}_T^2}{2x P^+}, \mathbf{p}_T \right)$$

$$k^\mu = \left(\frac{z(k^2 + \mathbf{k}_T^2)}{2P_h^-}, \frac{P_h^-}{z}, \mathbf{k}_T \right)$$

z frazione light-cone
del momento
del quark frammentante

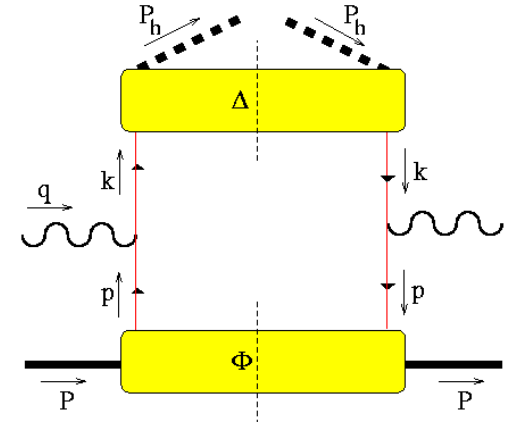
	+	-	
h → q	~ Q	~ 1/Q	∫ dp ⁻
hard	~ Q	~ Q	
q → h	~ 1/Q	~ Q	∫ dp ⁺

procedura simile a DIS inclusivo



$$2MW^{\mu\nu} = \sum_f e_f^2 \int d^4p d^4k \delta(p + q - k) \text{Tr} [\Phi(p, P, S) \gamma^\mu \Delta(k, P_h, S_h) \gamma^\nu] + \left(\begin{array}{l} \mu \leftrightarrow \nu \\ q \leftrightarrow -q \end{array} \right)$$

(antiquark)



quark “decade” in adrone non colorato
confinamento → neutralizzazione del colore

$$Q^2 \rightarrow \infty \sum_f e_f^2 \int dp^- d\mathbf{p}_T dk^+ d\mathbf{k}_T \delta(\mathbf{p}_T + \mathbf{q}_T - \mathbf{k}_T) \text{Tr} [\Phi(p, P, S) \gamma^\mu \Delta(k, P_h, S_h) \gamma^\nu] \Big|_{\substack{p^+ = xP^+ \\ k^- = P_h^- / z}} + \left(\begin{array}{l} \mu \leftrightarrow \nu \\ q \leftrightarrow -q \end{array} \right)$$

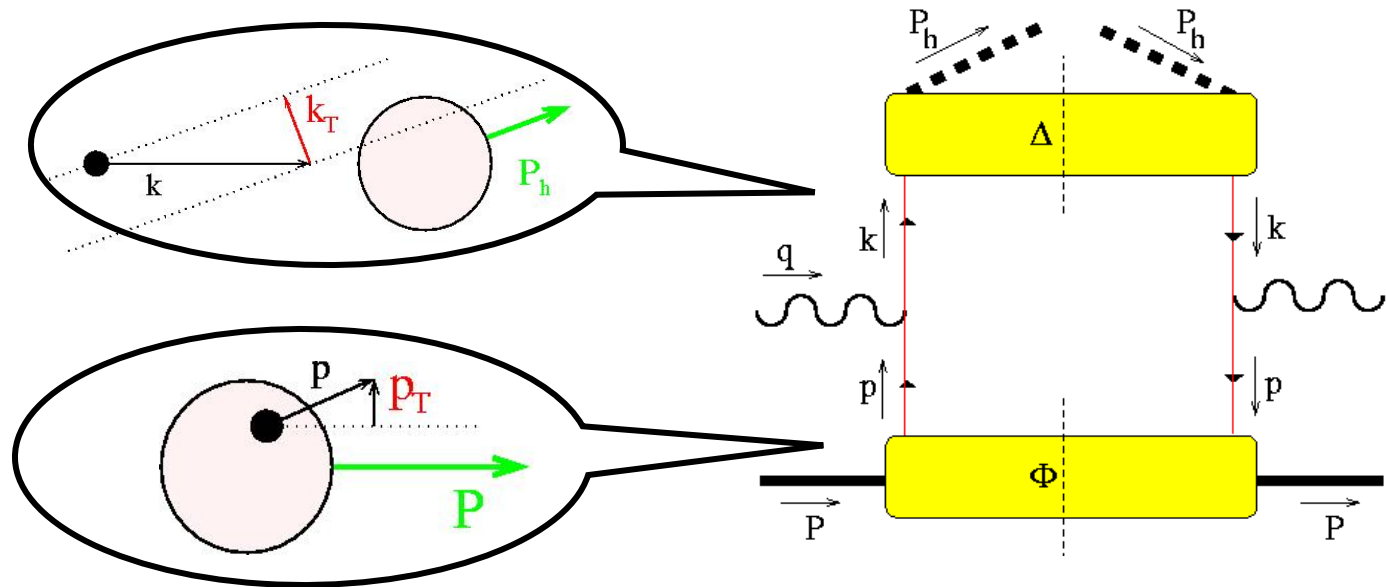


$$\Phi(p, P, S) = \int \frac{d^4\xi}{(2\pi)^4} e^{-ip \cdot \xi} \langle P, S | \bar{\psi}(\xi) \psi(0) | P, S \rangle$$

$$\Delta(k, P_h, S_h) = \sum_X \int \frac{d^4\zeta}{(2\pi)^4} e^{ik \cdot \zeta} \langle 0 | \psi(\zeta) | P_h S_h, X \rangle \langle P_h S_h, X | \bar{\psi}(0) | 0 \rangle$$

similmente
per antiquark

- in SIDIS $\{P, q, P_h\}$ **non** sono **tutti collineari**;
comodo scegliere frame dove $\mathbf{q}_T \neq 0$
 - sensibilità ai momenti trasversi dei partoni nel vertice hard
 - struttura più ricca



Decomposizione di Φ al leading twist

Base di matrici di Dirac $\{\mathbf{1}, \gamma^\mu, \gamma^\mu \gamma_5, i\gamma_5, i\sigma^{\mu\nu} \gamma_5\}$

$$\Phi(p, P, S) = \frac{1}{2} [S \mathbf{1} + V_\mu \gamma^\mu + A_\mu \gamma^\mu \gamma_5 + iP \gamma_5 + iT_{\mu\nu} \sigma^{\mu\nu} \gamma_5]$$

$$S = \frac{1}{2} \text{Tr}(\Phi) = C_1(p^2, p \cdot P)$$

$$V^\mu = \frac{1}{2} \text{Tr}(\gamma^\mu \Phi) = C_2 P^\mu + C_3 p^\mu + C_{10} \epsilon_{\mu\nu\rho\sigma} S^\nu P^\rho p^\sigma$$

$$A^\mu = \frac{1}{2} \text{Tr}(\gamma^\mu \gamma_5 \Phi) = C_4 S^\mu + C_5 p \cdot S P^\mu + C_6 P \cdot S p^\mu$$

$$P_5 = \frac{1}{2i} \text{Tr}(\gamma_5 \Phi) = C_{11} p \cdot S$$

$$T^{\mu\nu} = \frac{1}{2i} \text{Tr}(\sigma^{\mu\nu} \Phi) = C_7 P^{[\mu} S^{\nu]} + C_8 p^{[\mu} S^{\nu]} + C_9 p \cdot S P^{[\mu} p^{\nu]} + C_{12} \epsilon_{\mu\nu\rho\sigma} P^\rho p^\sigma$$

$C_{10} \epsilon_{\mu\nu\rho\sigma} S^\nu P^\rho p^\sigma$: $\mu, \rho = +/- \Rightarrow \nu, \sigma = i (=1,2)$

\Rightarrow coinvolge momenti trasversi partonici (\mathbf{p}_\perp) ma C_{10} è vincolato da T-reversal
idem per $C_{12} \epsilon_{\mu\nu\rho\sigma} P^\rho p^\sigma$

Naive T -reversal transformation

$|a\rangle =$  system with some spin and momentum

$|-a\rangle =$  flipping spin and momentum

$|i\rangle, |f\rangle$ initial, final states of the system; \mathcal{T}_{if} trans. matrix; T -rev. $\rightarrow |\mathcal{T}_{if}|^2 = |\mathcal{T}_{f-i}|^2$

naive T -reversal transformation : \mathcal{T}_{i-f}

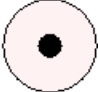
$A = |\mathcal{T}_{if}|^2 - |\mathcal{T}_{i-f}|^2$

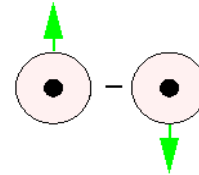
- no FSI $\Rightarrow |i\rangle \leftrightarrow |f\rangle$; $A = 0$; T -rev. = naive T -rev.
- FSI) $|i\rangle \neq |f\rangle$; T -rev. OK
but $A \neq 0 \propto \Im m [\text{Born} \times \text{rescatt.}^*]$

PDF dipendenti da momento trasverso intrinseco

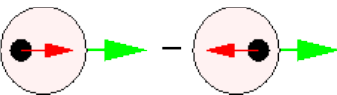
Proiezioni al leading twist

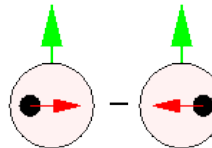
$$\Phi^{[\Gamma]}(x, \mathbf{p}_T, S) = \int dp^- \text{Tr} [\Phi(p, P, S) \Gamma] \Big|_{p^+ = xP^+}$$

$$f_1 = \text{diagram}$$


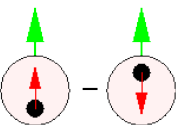
$$f_{1T}^\perp = \text{diagram}$$


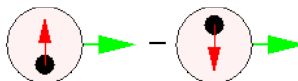
$$\Phi^{[\gamma^+]}(x, \mathbf{p}_T, S) = f_1(x, \mathbf{p}_T^2) - \frac{\mathbf{p}_T \times \mathbf{S}_T \cdot \hat{\mathbf{P}}}{M} f_{1T}^\perp(x, \mathbf{p}_T^2)$$

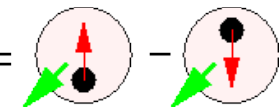
$$g_{1L} = \text{diagram}$$


$$g_{1T} = \text{diagram}$$


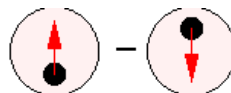
$$\Phi^{[\gamma^+ \gamma_5]}(x, \mathbf{p}_T, S) = \lambda g_{1L}(x, \mathbf{p}_T^2) + \frac{\mathbf{p}_T \cdot \mathbf{S}_T}{M} g_{1T}(x, \mathbf{p}_T^2)$$

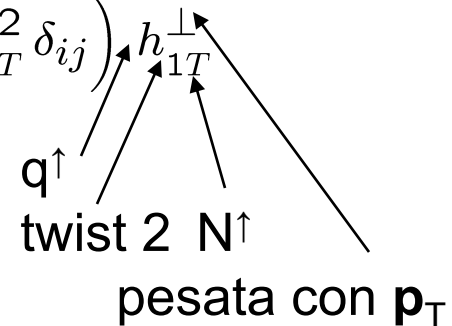
$$h_{1T} = \text{diagram}$$


$$h_{1L}^\perp = \text{diagram}$$


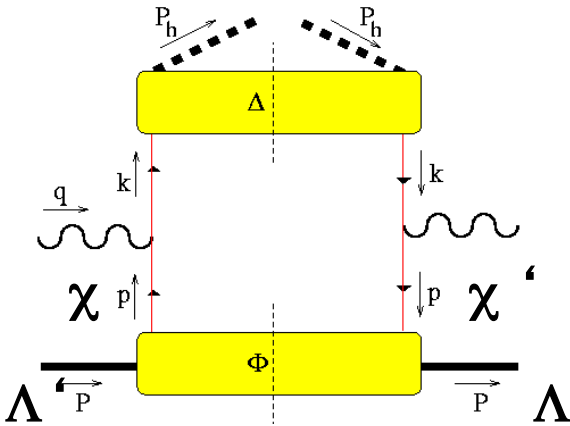
$$h_{1T}^\perp = \text{diagram}$$


$$\Phi^{[i\sigma^i + \gamma_5]}(x, \mathbf{p}_T, S) = S_T^i h_1 + \frac{p_T^i}{M} \lambda h_{1L}^\perp + \frac{S_T^i}{M^2} \left(p_T^i p_T^j - \frac{1}{2} \mathbf{p}_T^2 \delta_{ij} \right) h_{1T}^\perp + \frac{(\mathbf{p}_T \times \hat{\mathbf{P}})_i}{M} h_1^\perp$$

$$h_1^\perp = \text{diagram}$$




Rappresentazione di elicità di $\Phi(x, \mathbf{p}_T, S)$



PDF	chiral even		chiral-odd
	q non pol.	q^{\rightarrow}	q^{\uparrow}
H non pol.	f_1		$h_{1\perp}$
$H^{\rightarrow} = L$		g_{1L}	$h_{1L\perp}$
$H^{\uparrow} = T$	$f_{1T\perp}$	g_{1T}	$h_1, h_{1T\perp}$

$$h_1 = h_{1T} + h_{1T\perp}^{\perp} \frac{\vec{p}_T^2}{M^2}$$

Decomposizione di Δ al leading twist

Base di matrici di Dirac $\{\mathbf{1}, \gamma^\mu, \gamma^\mu \gamma_5, i\gamma_5, i\sigma^{\mu\nu} \gamma_5\}$

$$\Delta(k, P_h, S_h) = \frac{1}{2} [S \mathbf{1} + V_\mu \gamma^\mu + A_\mu \gamma^\mu \gamma_5 + iP \gamma_5 + iT_{\mu\nu} \sigma^{\mu\nu} \gamma_5]$$

$$S = \frac{1}{2} \text{Tr}(\Delta) = C_1(k^2, k \cdot P_h)$$

$$V^\mu = \frac{1}{2} \text{Tr}(\gamma^\mu \Delta) = C_2 P_h^\mu + C_3 k^\mu + C_{10} \epsilon_{\mu\nu\rho\sigma} S_h^\nu P_h^\rho k^\sigma$$

$$A^\mu = \frac{1}{2} \text{Tr}(\gamma^\mu \gamma_5 \Delta) = C_4 S_h^\mu + C_5 p \cdot S_h P_h^\mu + C_6 P_h \cdot S_h k^\mu$$

$$P_5 = \frac{1}{2i} \text{Tr}(\gamma_5 \Delta) = C_{11} k \cdot S_h$$

$$T^{\mu\nu} = \frac{1}{2i} \text{Tr}(\sigma^{\mu\nu} \Delta) = C_7 P_h^{[\mu} S_h^{\nu]} + C_8 k^{[\mu} S_h^{\nu]} + C_9 k \cdot S_h P_h^{[\mu} k^{\nu]} + C_{12} \epsilon_{\mu\nu\rho\sigma} P_h^\rho k^\sigma$$

$$\text{Tr} [\dots \gamma^-] \rightarrow \Delta[\gamma^-] = \sum_X \int \frac{d\zeta^+}{2\pi} e^{iP_h^- \zeta^+ / z} \langle 0 | \psi_f(\zeta^+) | P_h S_h, X \rangle \langle P_h S_h, X | \bar{\psi}_f(0) \gamma^- | 0 \rangle$$

$$\text{Tr} [\dots \gamma^- \gamma_5] \rightarrow \Delta[\gamma^- \gamma_5] = \sum_X \int \frac{d\zeta^+}{2\pi} e^{iP_h^- \zeta^+ / z} \langle 0 | \psi_f(\zeta^+) | P_h S_h, X \rangle \langle P_h S_h, X | \bar{\psi}_f(0) \gamma^- \gamma_5 | 0 \rangle$$

$$\text{Tr} [\dots \gamma^- \gamma^i \gamma_5] \rightarrow \Delta[i\sigma^{i-} \gamma_5] = \sum_X \int \frac{d\zeta^+}{2\pi} e^{iP_h^- \zeta^+ / z} \langle 0 | \psi_f(\zeta^+) | P_h S_h, X \rangle$$

Correlatore con momento trasverso intrinseco

$$\Delta^{[\Gamma]}(z, \mathbf{P}_{hT}, S_h) = \frac{1}{4z} \int dk^+ \text{Tr} [\Delta(k, P_h, S_h) \Gamma] \Big|_{k^- = P_h^- / z}$$



Proiezioni al leading twist

$$D_1 = \bullet \longrightarrow \bigcirc \qquad D_{1T}^\perp = \left(\bullet \longrightarrow \bigcirc \begin{matrix} \nearrow \\ \text{green} \end{matrix} - \bullet \longrightarrow \bigcirc \begin{matrix} \nwarrow \\ \text{green} \end{matrix} \right)$$

$$\Delta^{[\gamma^-]}(z, \mathbf{P}_{hT}, S_h) = D_1(z, \mathbf{P}_{hT}^2) + \frac{(\mathbf{k}_T \times \mathbf{S}_{hT})_z}{M_h} D_{1T}^\perp(z, \mathbf{P}_{hT}^2)$$

$$G_{1L} = \left(\bullet \begin{matrix} \rightarrow \\ \text{red} \end{matrix} \longrightarrow \bigcirc \begin{matrix} \rightarrow \\ \text{green} \end{matrix} \right) - \left(\bullet \begin{matrix} \leftarrow \\ \text{red} \end{matrix} \longrightarrow \bigcirc \begin{matrix} \rightarrow \\ \text{green} \end{matrix} \right) \qquad G_{1T} = \left(\bullet \begin{matrix} \rightarrow \\ \text{red} \end{matrix} \longrightarrow \bigcirc \begin{matrix} \uparrow \\ \text{green} \end{matrix} \right) - \left(\bullet \begin{matrix} \leftarrow \\ \text{red} \end{matrix} \longrightarrow \bigcirc \begin{matrix} \uparrow \\ \text{green} \end{matrix} \right)$$

$$\Delta^{[\gamma^- \gamma_5]}(z, \mathbf{P}_{hT}, S_h) = \lambda_h G_{1L}(z, \mathbf{P}_{hT}^2) + \frac{\mathbf{k}_T \cdot \mathbf{S}_{hT}}{M_h} G_{1T}^\perp(z, \mathbf{P}_{hT}^2)$$

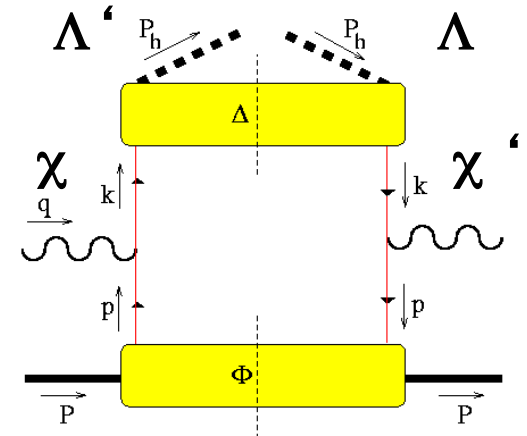
$$H_{1T} = \left(\bullet \begin{matrix} \uparrow \\ \text{red} \end{matrix} \longrightarrow \bigcirc \begin{matrix} \uparrow \\ \text{green} \end{matrix} \right) - \left(\bullet \begin{matrix} \downarrow \\ \text{red} \end{matrix} \longrightarrow \bigcirc \begin{matrix} \uparrow \\ \text{green} \end{matrix} \right) \qquad H_1^\perp = \left(\bullet \begin{matrix} \uparrow \\ \text{red} \end{matrix} \longrightarrow \bigcirc \right) - \left(\bullet \begin{matrix} \downarrow \\ \text{red} \end{matrix} \longrightarrow \bigcirc \right)$$

$$\Delta^{[i\sigma^{i-} \gamma_5]}(z, \mathbf{P}_{hT}, S_h) = S_{hT}^i H_{1T}(z, \mathbf{P}_{hT}^2) + \frac{(\hat{\mathbf{n}}_T \times \mathbf{k}_T)_i}{M_h} H_1^\perp(z, \mathbf{P}_{hT}^2)$$

$$+ \frac{k_T^i}{M_h} \left[\lambda_h H_{1L}^\perp(z, \mathbf{P}_{hT}^2) + \frac{\mathbf{k}_T \cdot \mathbf{S}_{hT}}{M_h} H_{1T}^\perp(z, \mathbf{P}_{hT}^2) \right]$$

$$H_{1L}^\perp = \left(\bullet \begin{matrix} \uparrow \\ \text{red} \end{matrix} \longrightarrow \bigcirc \begin{matrix} \rightarrow \\ \text{green} \end{matrix} \right) - \left(\bullet \begin{matrix} \downarrow \\ \text{red} \end{matrix} \longrightarrow \bigcirc \begin{matrix} \rightarrow \\ \text{green} \end{matrix} \right) \qquad H_{1T}^\perp = \left(\bullet \begin{matrix} \uparrow \\ \text{red} \end{matrix} \longrightarrow \bigcirc \begin{matrix} \nearrow \\ \text{green} \end{matrix} \right) - \left(\bullet \begin{matrix} \downarrow \\ \text{red} \end{matrix} \longrightarrow \bigcirc \begin{matrix} \nearrow \\ \text{green} \end{matrix} \right)$$

Rappresentazione di elicità di $\Delta(z, \mathbf{P}_{hT}, S_h)$

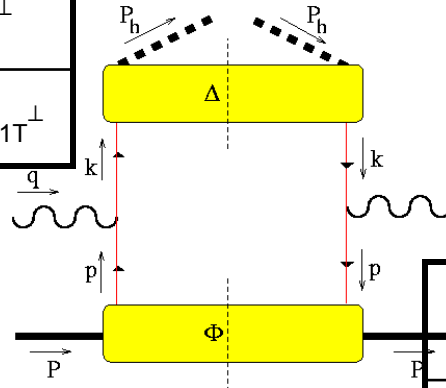


PFF	chiral even		chiral-odd
	q non pol.	q^{\rightarrow}	q^{\uparrow}
H non pol.	D_1		$H_{1\perp}$
$H^{\rightarrow} = L$		G_{1L}	$H_{1L\perp}$
$H^{\uparrow} = T$	$D_{1T\perp}$	G_{1T}	$H_1, H_{1T\perp}$

naïve T-even

naïve T-odd

PDF	chiral even		chiral-odd
	q non pol.	q^{\rightarrow}	q^{\uparrow}
H non pol.	D_1		H_1^{\perp}
$H^{\rightarrow} = L$		G_{1L}	H_{1L}^{\perp}
$H^{\uparrow} = T$	D_{1T}^{\perp}	G_{1T}	H_1, H_{1T}^{\perp}

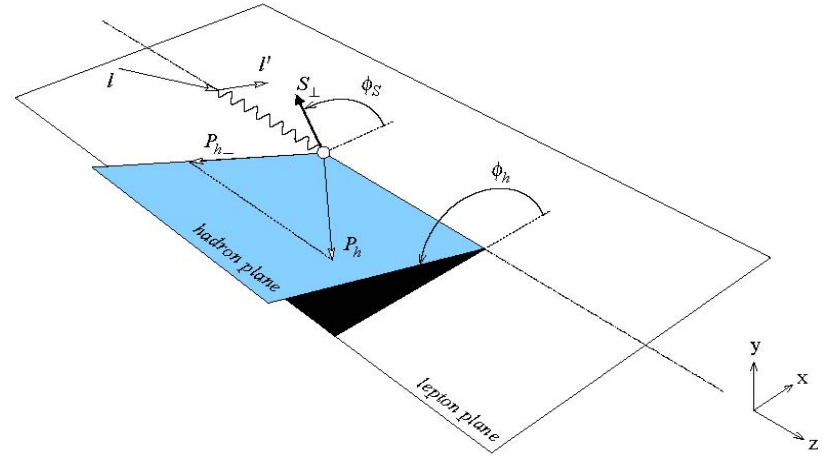
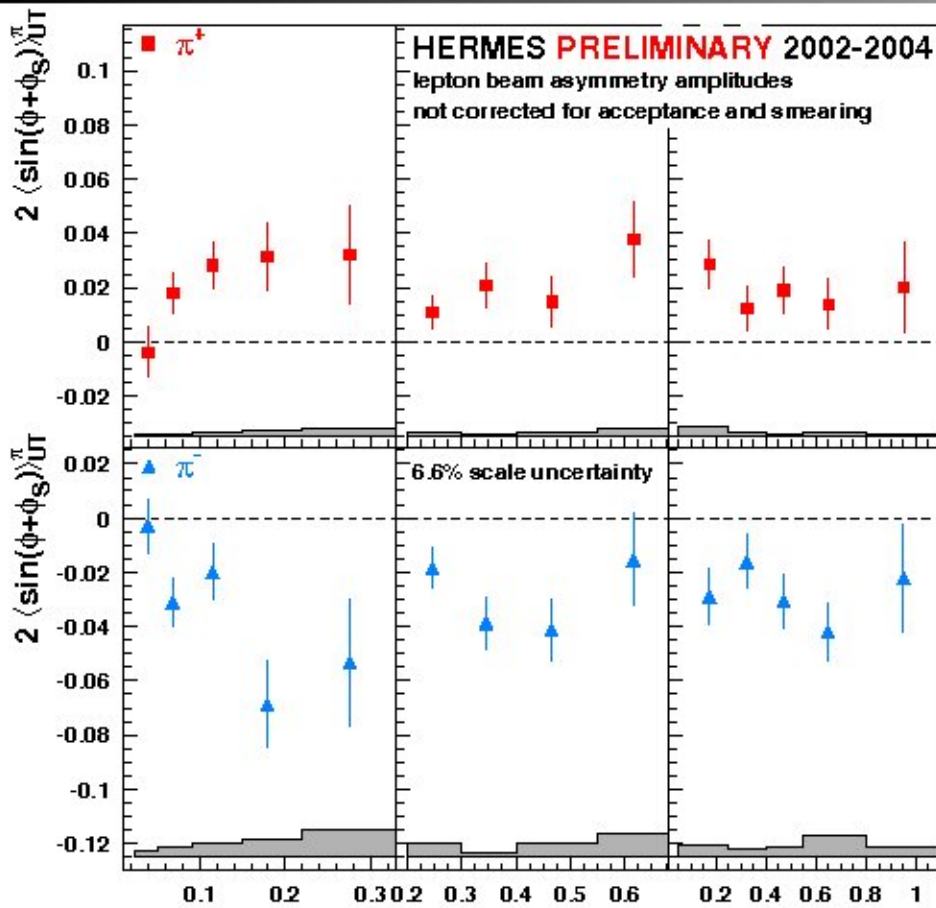


PDF	chiral even		chiral-odd
	q non pol.	q^{\rightarrow}	q^{\uparrow}
H non pol.	f_1		h_1^{\perp}
$H^{\rightarrow} = L$		g_{1L}	h_{1L}^{\perp}
$H^{\uparrow} = T$	f_{1T}^{\perp}	g_{1T}	h_1, h_{1T}^{\perp}



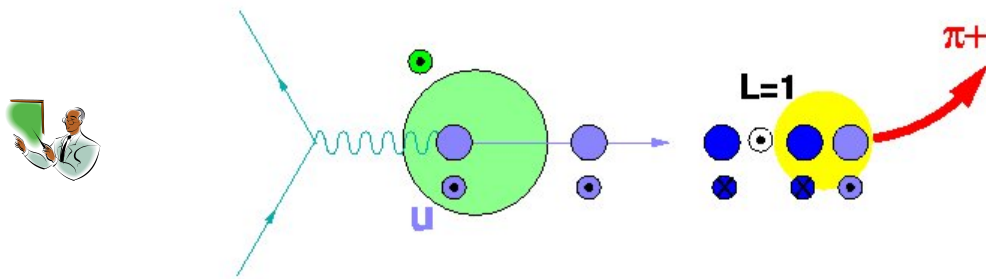
$$e p^\uparrow \rightarrow e' \pi^\pm X$$

Airapetian *et al.*, HERMES
P.R.L. **94** (05) 012002



$$N^\uparrow = p^\uparrow = \{u^\uparrow d^\downarrow u^\uparrow\}$$

$$\vec{k}(\parallel \hat{z}) \times \vec{P}_h(\parallel \hat{x}) \cdot \vec{S}_T(\parallel \hat{y}) \rightarrow \sin \phi_C > 0$$



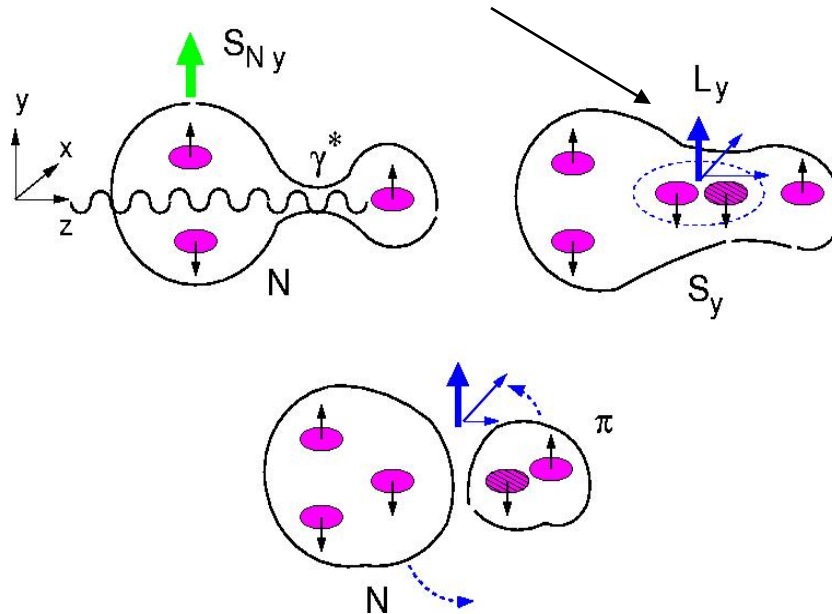
$$\left. \begin{array}{l} \phi_S = \pi/2 \\ \phi = 0 \end{array} \right\} \sin(\phi + \phi_S) > 0$$



Congettura semi-classica : poichè γ^* colpisce $q\uparrow$ si forma una stringa di forza di colore; quando la stringa si rompe, si forma un quarkonio con spin 1 e momento angolare orbitale opposto; tale momento angolare orbitale e determina l' asimetria azimutale nell' emissione dell' adrone finale

(Artru , hep-ph/9310323)

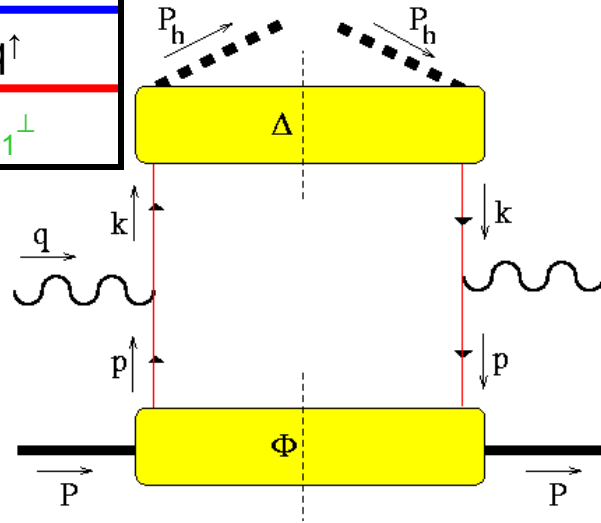
quantici vuoto $J^{PC} = 0^{++}$
 quarkonio ha $S=1 \rightarrow 2S+1L_J = 3P_0$



K. Bruhnel - TJNAF - 2003

effetto Sivers in SIDIS $e p^\uparrow \rightarrow e' \pi^\pm X$

Δ	chiral even	chiral-odd
	q	q $^\uparrow$
π	D ₁	H _{1$^\perp$}



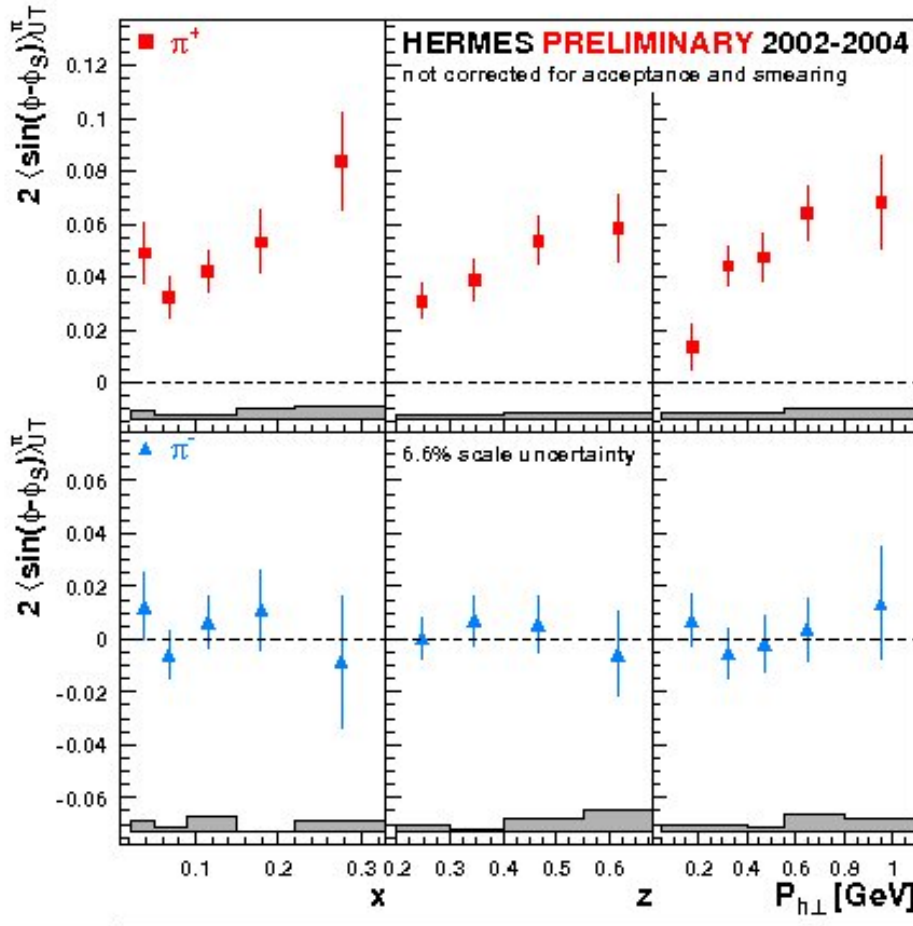
Φ	chiral even	chiral-odd
	q	q $^\uparrow$
p	f ₁	h _{1$^\perp$}
p $^\uparrow$ = T	f _{1T$^\perp$}	g _{1T} , h _{1, h_{1T$^\perp$}}

$$\frac{d^6\sigma_{OT}}{dx dy dz d\phi_S d\mathbf{P}_{h\perp}} = \frac{2\alpha^2}{sxy^2} \sum_{f, \bar{f}} e_f^2 \left\{ A(y) \mathcal{F} \left[f_1^f(x, \mathbf{p}_T^2) D_1^f(z, \mathbf{P}_{hT}^2) \right] - |\mathbf{S}_T| B(y) \sin(\phi_h - \phi_S) \mathcal{F} \left[\frac{\mathbf{p}_T \cdot \hat{\mathbf{P}}_{h\perp}}{M} f_{1T}^\perp(x, \mathbf{p}_T^2) D_1^f(z, \mathbf{P}_{hT}^2) \right] \right\}$$

$$A_{UT} = \left[\int d\phi_h d\phi_S \sin(\phi_h - \phi_S) [d\sigma^\uparrow - d\sigma^\downarrow] \right] / \left[\int d\phi_h d\phi_S [d\sigma^\uparrow + d\sigma^\downarrow] \right]$$

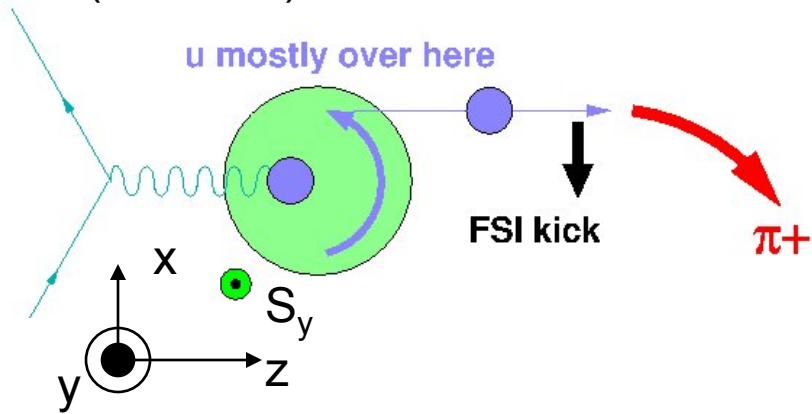
effetto Sivers e relativa **S**ingle **S**pin **A**symmetry

$$\frac{\int d\phi_h \sin(\phi_h - \phi_S) (d\sigma^\uparrow - d\sigma^\downarrow)}{\int d\phi_h (d\sigma^\uparrow + d\sigma^\downarrow)} \propto -|\mathbf{S}_T| \frac{B(y)}{A(y)} \frac{\sum_{f\bar{f}} e_f^2 f_{1T}^{\perp f(1)}(x) D_1^f(z)}{\sum_{f\bar{f}} e_f^2 f_1^f(x) D_1^f(z)}$$



π^+ positivo $\rightarrow f_{1T}^{\perp u}$ negativa
 $f_{1T}^{\perp d}$ positiva
 (piccola)

(continua)



$$\left. \begin{array}{l} \phi_S = \pi/2 \\ \phi = \pi \end{array} \right\} \sin(\phi - \phi_S) > 0$$

possibile interpretazione:

$N^\uparrow \rightarrow$ distribuzione asimmetrica
nel piano trasverso: u va
a $x > 0$ e d va a $x < 0$

perché $S_y \neq 0 \rightarrow L_q \neq 0$

γ colpisce u che viene deflesso
a $x < 0$ per confinamento (forza
colore attrattiva); opposto per d

(Burkardt, Phys. Rev. D **66** ('02) 114005)

effetto diretto del momento
angolare orbitale dei quark



esempio di deflessione
per quark d a $x > 0$



K. Bruhnel - TJNAF - 2003